

F-9150.- Areniscas del Aljibe.



F-9151.- Arcillas y yesos del Triásico (Unidad 3).



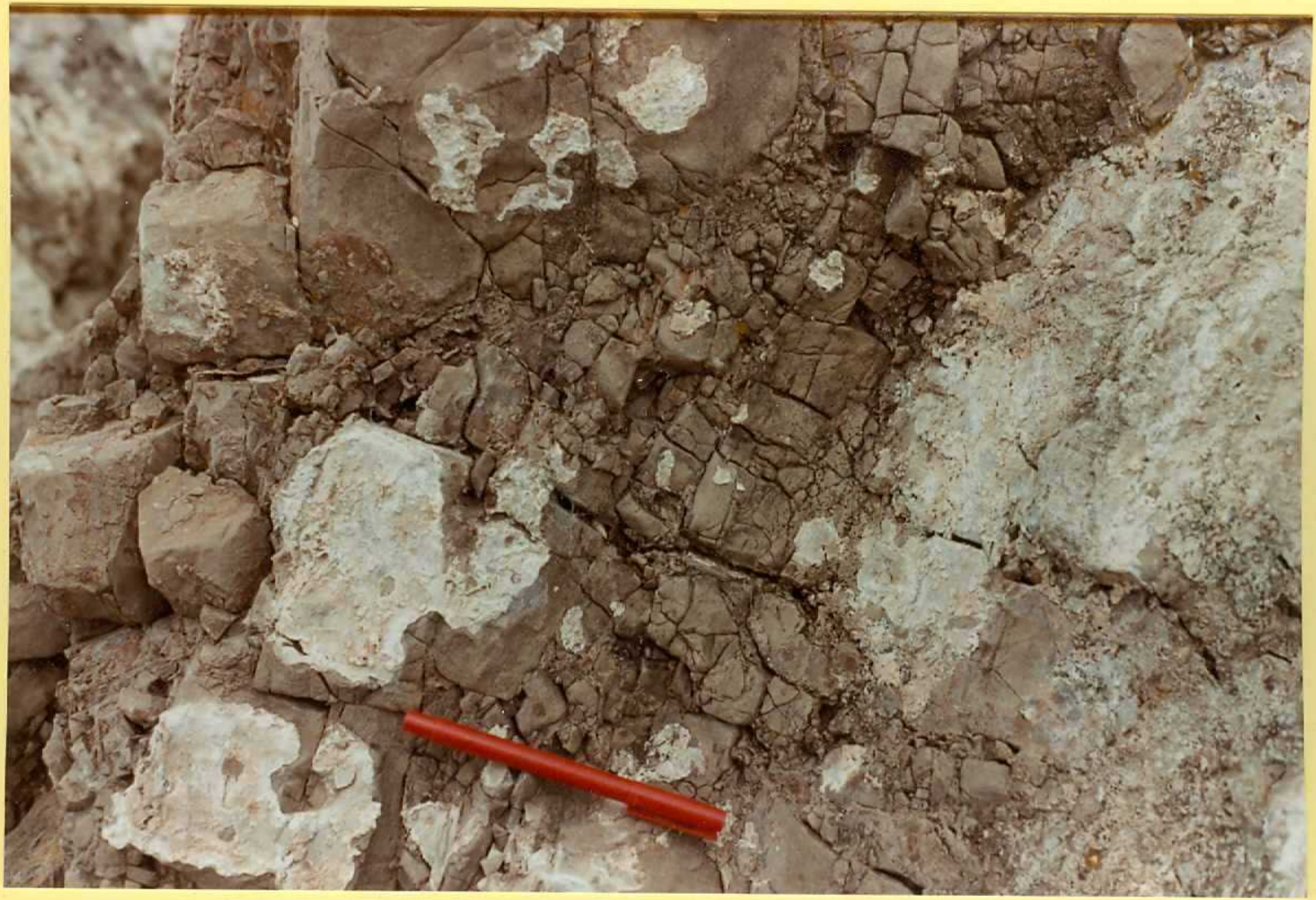
F-9152.- Yesos del Triásico superior (Unidad 3).



F-1953.- Areniscas micaceas del Triásico (Unidad 5).



F-9154.- Detalle de la unidad anterior.



F-9155.- Calizas y dolomías tableadas del Muschel kalk (Unidad 4).



F-9156.- Calizas y dolomías de la Unidad 4.



F-9157.- Calizas con nódulos de silex del Dogger (Unidad 9).



F-9158.- Calizas del Lias (Unidad 8).



F-9159.- Detalle de la fotografía anterior.



F-9160.- Aspecto de la unidad 8, (Lias), en el Castillo de Cote.



F-9161.- Arcillas rojas y verdes de la Unidad 2.



F-9162.- Aspecto de las capas rojas (Cret.-Eoceno) en las proximidades del cortijo de Norieta.



F-9163.- Detalle de la fotografía anterior.



F-9164.- Procesos de alteración de las capas rojas (Unidad 15).



F-9165.- Otro aspecto del mismo proceso.



F-9166.- Alteración de capas rojas (Unidad 15).



F-9167.- Procesos de alteración de capas rojas a favor de pequeñas fracturas.



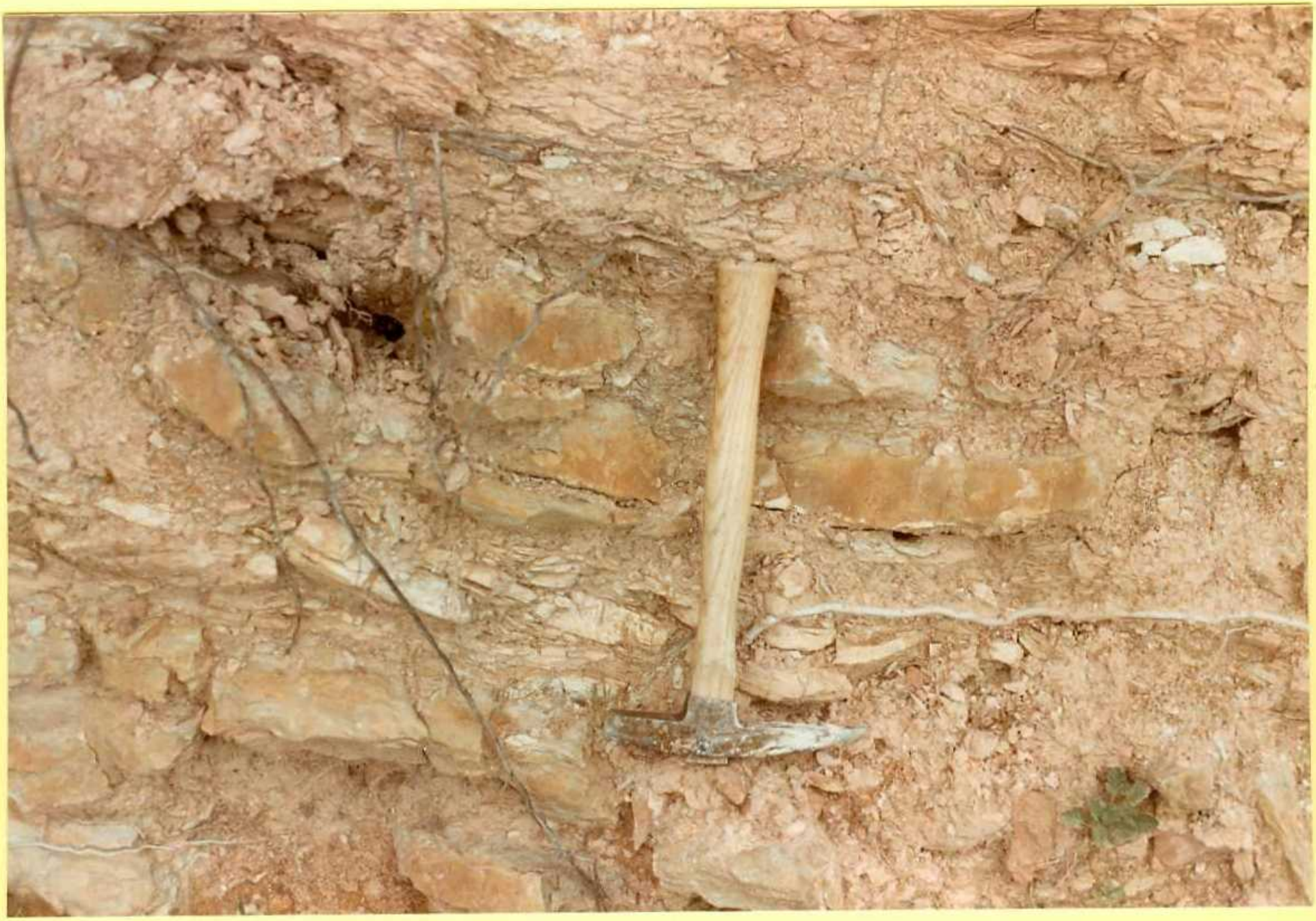
F-9168.- Detalle de los procesos finales de alteración



F-9169.- Capas rojas con niveles turbidíticos eocenos (Unidad 15).



F-9170.- Capas rojas (Unidad 15) en el cortijo de Tierras Nuevas.



F-9171.- Detalle de la fotografía anterior.



F-9172.- Aspecto en campo de las capas rojas (Unidad 15).



F-9173.- Bloque de capas rojas desde el arroyo del Roncador.



F-9174.- Capas rojas (Unidad 15) sobre materiales arcillo-yesíferos del Triásico.



F-9175.- Niveles de Eoceno blanco, (Unidad 18).



F-9176.- Alteración capas rojas (Unidad 15).



F-9177.- Moronitas (Unidad 20) en la carretera de Espera a Las Cabezas.



F-9178.- Moronitas modernas en el Cerro Blanco.



F-9179.- Barra de biocalcarenitas miocenas en el Cerro de la Plata.



F-9180.- Aspecto de las barras de biocalcarenitas miocenas.
(Unidad 24).



F-9181.- Arenas y biocalcarenitas del Mioceno en Villamartín.
(Unidad 25).



F-9182.- Barras de biocalcarenitas miocenas en el Cerro del Morisco



F-9183.- Restos fósiles del Mioceno superior.



F-9184.- Barras de biocalcarenitas miocenas en las cercanias de Espera.



F-9185.- Margas grises del Mioceno superior (Unidad 27).



F-9186.- Margas grises del Mioceno superior en el sinclinal de Espera.



F-9187.- Aspecto de estas margas en las proximidades de Villamartín.



F-9188.- Detalle de la fotografía anterior.



F-9189.- Vista del sinclinal de Espera.



F-9190.- Barras de biocalcarenitas y margas grises del Mioceno superior en las proximades de Bornos.



F-9191.- Laminación en las biocalcarenitas del Plioceno inferior y medio.



F-9192.- Conchero de ostreas en las arenas del Plioceno inferior y medio.



F-9193.- Nivel de arcillas verdes en el Plioceno medio.



F-9194.- Restos fósiles en las arenas del Plioceno.



F-9195.- Otro aspecto de estos restos fósiles.



F-9196.- Arenas rojas cuaternarias incluídas en los conductos kársticos del Mioceno Superior.



F-9197.- Detalle de la fotografía anterior.



F-9198.- Aspecto general de la hoja de Monte llano desde la Sierra de Monte llano.